

# PRÁCTICA 5. Simulink

**Periodo de realización:** Semanas 7 y 8 del curso  
**Fecha límite de entrega:** 29 de abril de 2012

Subir un único fichero **apellido\_P5.pdf** con los modelos y submodelos que resuelven cada uno de los ejercicios y (2) las gráficas obtenidas en la simulación. Del Ejercicio 1 no hay que entregar nada. Si se resuelven los dos ejercicios opcionales, subir un \*.zip con los ficheros generados.

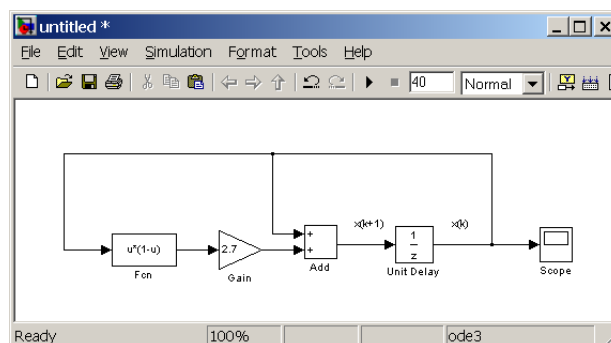
## 1. Simulink. Ejercicios básicos

### Ejercicio 1. Familiarización con el entorno.

- 1) Dedicar unos minutos a ver qué bloques hay en cada una de las (sub)librerías de SIMULINK y qué opciones hay en la barra de menú de la ventana del modelo.
- 2) Buscar bloques de nombre “PID Controller” (correspondiente a un controlador proporcional-integral-derivativo)
- 3) Ejecutar el modelo de demostración `thermo.mdl`. Para abrirlo, basta con escribir `>>thermo` en la ventana de comandos de MATLAB. Investigar las diferentes opciones.

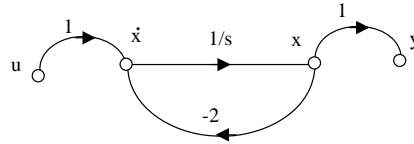
### Ejercicio 2. Ecuación en diferencias no lineal: Dinámica de una población.

- 1) Construir el modelo del sistema discreto definido por  $x_{k+1} = x_k + rx_k(1 - x_k)$ . Pista:



- 2) Representar su comportamiento para los casos  $r = 0.2$  y  $r = 2.7$ . Escoger como condición inicial 0.5, como tiempo de muestreo 0.8 y como tiempo final de simulación 40s.
- 3) Parametrizar el Scope a fin de que cargue el resultado en el *workspace* de Matlab, simular el modelo desde la ventana de comandos (función `sim`) y representar  $x(k)$  con ayuda de la función `stairs`.

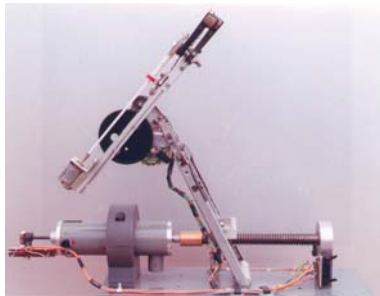
**Ejercicio 3. Ecuación diferencial.** La figura muestra el flujograma de estado correspondiente a la ecuación diferencial  $\dot{x}(t) = -2x(t) + u(t)$ . La entrada del flujograma es  $u$  y la salida es  $y=x$ . Notar que, por razones de implementabilidad, se prefiere trabajar con integradores ( $1/s$ ) en vez de con derivadores. Se pide:



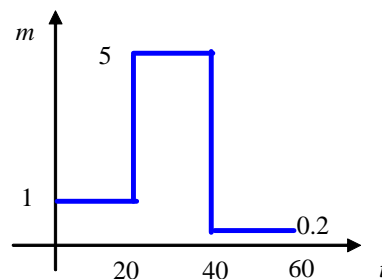
- 1) Construir el modelo equivalente en Simulink (bloques: Integrator, Sum, Gain, Scope). Elegir un bloque de la librería Sources que permita generar una  $u(t)$  del tipo señal cuadrada de amplitud 1 y frecuencia 1rad/s.
- 2) Simular y visualizar, en un mismo Scope, las señales  $x(t)$  y  $u(t)$ . Para ello utilizar un bloque multiplexor (Mux) antes del Scope. □

## 2. Simulink. Ejercicios de aplicación

**Ejercicio 4. Brazo robótico. Comportamiento en lazo abierto.** Se dispone del manipulador de 2 grados de libertad de la Figura (a). Su carga resulta variable y se modela por medio de una masa  $m$  que varía con el tiempo entre 0.2 y 5kg tal y como muestra la Figura (b).



(a)



(b)

Sin ningún tipo de control (*lazo abierto*), el elemento posicionador (*planta*) presenta la siguiente función de transferencia

$$P(s) = \frac{40}{ms^2 + 10s + 20}$$

Se desea representar, vía Simulink, la evolución de la salida  $y(t)$  cuando la entrada  $r(t)$  es un tren de pulsos de amplitud 1 y frecuencia 0.07Hz. Para ello, seguir los pasos que se indican a continuación:

- 1) Buscar en qué directorio de Matlab se encuentra el fichero plantilla **csfunc.m** (descripción de sistemas continuos para usar dentro de una función S). Copiarlo al directorio de trabajo <work> y cambiarle el nombre (llamarlo por ejemplo **robot.m**). Modificarlo con los datos de la planta considerada  $P(s)$  tal y como se indica a continuación (intentar entender qué hace cada parte del programa):

```

function [sys,x0,str,ts] = robot(t,x,u,flag)

m=1;
if t>=20;m=5;end
if t>=40;m=0.2;end
A=[0 1;-20/m -10/m];B=[0;40/m];C=[1 0];D=0;

switch flag,
case 0, [sys,x0,str,ts]=mdlInitializeSizes(A,B,C,D);
case 1, sys=mdlDerivatives(t,x,u,A,B,C,D);
case 3, sys=mdlOutputs(t,x,u,A,B,C,D);
case { 2, 4, 9 }, sys = [];
otherwise error(['Unhandled flag = ',num2str(flag)]);
end

function [sys,x0,str,ts]=mdlInitializeSizes(A,B,C,D)
sizes = simsizes;
sizes.NumContStates = 2; %2 var de estado continuas (x=[x1;x2])
sizes.NumDiscStates = 0;
sizes.NumOutputs = 1; %una única salida (y)
sizes.NumInputs = 1; %una única entrada (r)
sizes.DirFeedthrough = 1;
sizes.NumSampleTimes = 1;
sys = simsizes(sizes);
x0 = zeros(sizes.NumContStates,1); %condiciones iniciales nulas
str = [];
ts = [0 0];

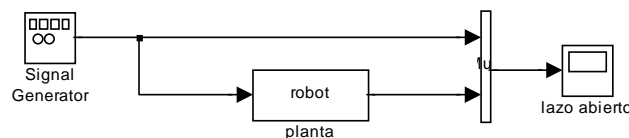
function sys=mdlDerivatives(t,x,u,A,B,C,D)
sys = A*x + B*u;

function sys=mdlOutputs(t,x,u,A,B,C,D)
sys = C*x + D*u;

```

Notar que para realizar la simulación numérica de sistemas dinámicos siempre hay que expresar éstos por medio de ecuaciones de estado (de ahí la aparición de las matrices **A**, **B**, **C**, **D**). Notar asimismo que, gracias a las funciones S, Simulink es capaz de simular el comportamiento de sistemas no lineales y/o variantes con el tiempo.

- 2) Construir el siguiente modelo Simulink (especificar el fichero **robot.m** dentro del bloque S-function) y simular la respuesta hasta 60s:



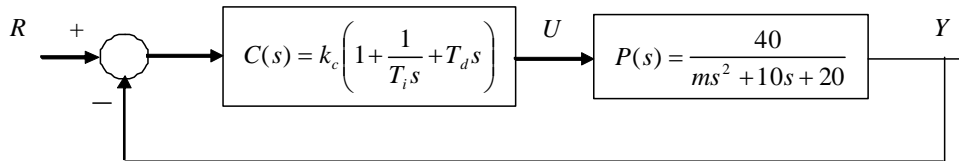
□

**Ejercicio 5. Brazo robótico. Control PID.** Puesto que el comportamiento del sistema sin controlar del **Ejercicio 4** no nos convence, probaremos distintas configuraciones de control a ver si podemos mejorarlo.

Se desea controlarlo de manera que su comportamiento (*en lazo cerrado*) corresponda a la

$$\text{función de transferencia } M(s) = \frac{4}{s+4}.$$

El esquema de bloques de la figura muestra la configuración de control que habrá que traducir a Simulink. El controlador  $C(s)$  es un PID puesto que presenta acción proporcional, derivativa e integral.



- 1) **PID con cancelación.** Representar en un mismo Scope la salida  $y(t)$  y la entrada  $r(t)$  (tren de pulsos de amplitud 1 y frecuencia 0.07Hz) para el caso en que los parámetros del controlador PID son los siguientes:

$$C(s) = k_c \left( 1 + \frac{1}{T_i s} + T_d s \right) \text{ con } k_c = 1, T_i = 0.5, T_d = 0.1$$

Representar también el esfuerzo de control (señal  $u(t)$ ) en otro Scope.

(Nota: Utilizar el bloque predefinido de Simulink que implementa el PID ideal (librería *Simulink Extras*  $\rightarrow$  *Additional Linear*), pero vigilar la entrada de parámetros: En Simulink no se entran  $k_c, T_i, T_d$  sino los parámetros P, I, D. En el mismo bloque está la definición)

(Nota: Para entender el nombre “cancelación” notar que el controlador resultante es tal que su numerador coincide con el denominador de la planta para  $m=1$ :

$$C(s) = k_c \frac{T_d s^2 + s + 1/T_i}{s} = 0.1 \frac{s^2 + 10s + 20}{s}$$

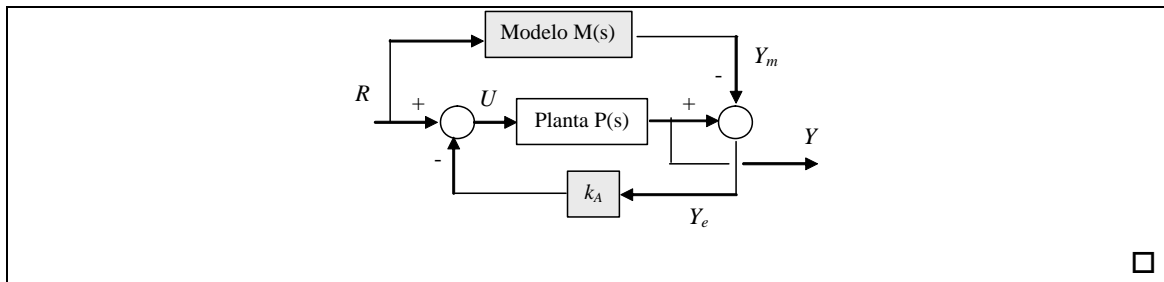
con lo cual, la función de transferencia del lazo resultante queda como  $L(s) = 0.1 \frac{s^2 + 10s + 20}{s} \frac{40}{s^2 + 10s + 20} = \frac{4}{s}$  y la función de transferencia en lazo cerrado es la deseada,  $T(s) = \frac{L(s)}{1 + L(s)} = \frac{4}{s + 4}$ . Notar que podríamos haber diseñado  $C(s)$  para cancelar el caso  $m=5$  o el caso  $m=0.2$  también).

- 2) **PID con ceros de anclaje y polo lejano (controlador robusto):** Repetir el apartado anterior para la siguiente elección de parámetros. Comparar y comentar los resultados:

$$C(s) = \frac{s^2 + 12s + 70}{s^2 + 150s}$$

□

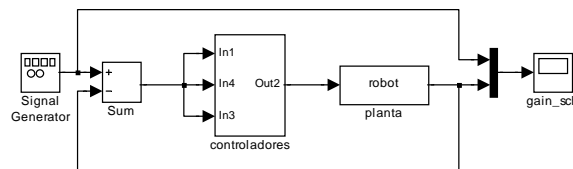
**Ejercicio 6. Brazo robótico. Control adaptativo por modelo de referencia.** Implementar ahora en Simulink esta otra configuración de control. El modelo es  $M(s) = \frac{4}{s + 4}$ , la planta es el robot del **Ejercicio 4** y la ganancia del lazo  $k_A$  tiene que ser grande (probar diversos valores y comentar el resultado).



**Ejercicio 7. Brazo robótico. Programación de la ganancia (gain scheduling control).**

Puesto que la evolución temporal de  $m$  es conocida *a priori* (ver **Ejercicio 4**) es posible diseñar 3 controladores PID con cancelación del denominador de la planta, uno para cada valor de  $m$  (ver **Ejercicio 5**), y hacer que entre en funcionamiento uno u otro dependiendo del instante  $t$ . Se pide implementar esta estrategia de control.

Pistas: Hay que usar un bloque *clock* para conocer el instante temporal y los bloques de comparaciones booleanas necesarios. Hay que usar subsistemas y elementos que activen (*enable*) estos subsistemas cuando sea necesario. El modelo general tendrá esta apariencia:



**Ejercicio 8. Identificación on-line de parámetros.** Un determinado proceso puede modelarse

como un filtro pasa bajas de segundo orden de la forma  $G(s) = \frac{k}{s^2 + 2\zeta\omega_n s + \omega_n^2}$ . Se sabe

que su frecuencia natural es  $\omega_n = 3$ , pero se desconoce el valor exacto de su ganancia  $k$  y su coeficiente de amortiguamiento  $\zeta$ .

Se trata de implementar un esquema que identifique en línea estos dos parámetros. Suponer que  $\zeta = 0.3$  y  $k = 9$  son los valores desconocidos.

En concreto se implementará la regla del MIT.

Regla del MIT. Puesto que el error depende de los parámetros estimados  $\hat{\mathbf{a}}$ ,  $\mathbf{e} = \mathbf{e}(t, \hat{\mathbf{a}})$ , se trata de variar  $\hat{\mathbf{a}}$  hasta conseguir  $\mathbf{e}=0$ , momento en que  $\hat{\mathbf{a}} = \mathbf{a}$ .

Se considera la función de Lyapunov (definida positiva) del error  $V(\mathbf{e}) = \frac{1}{2} \mathbf{e}^T \mathbf{Q} \mathbf{e}$ , donde  $\mathbf{Q}$  es una matriz simétrica definida positiva.

Puesto que  $V(\mathbf{e})$  es una función definida positiva, si su gradiente  $\dot{V}$  es negativo, ello significa que  $\mathbf{e}$  tenderá asintóticamente al origen (su valor mínimo). Por ello, se fuerza a que el vector de

parámetros evolucione según el sentido de descenso del gradiente,  $\dot{\hat{\mathbf{a}}} = -\varepsilon \left( \frac{\partial \mathcal{V}}{\partial \hat{\mathbf{a}}} \right)^T$ ,  $\varepsilon > 0$ . Ello

nos lleva a  $\dot{\hat{\mathbf{a}}} = \varepsilon \mathbf{S}^T \mathbf{Q} \mathbf{e}$ , siendo  $\mathbf{S}$  la matriz de sensibilidad. El parámetro  $\varepsilon$  influye en la velocidad de convergencia.

Nota: El gradiente es  $\frac{\partial \mathcal{V}}{\partial \hat{\mathbf{a}}} = \frac{\partial \mathcal{V}}{\partial \mathbf{e}} \frac{\partial \mathbf{e}}{\partial \hat{\mathbf{a}}}$  donde, si la matriz  $\mathbf{Q}$  es cuadrada y simétrica, tenemos

$$\frac{\partial \mathcal{V}}{\partial \hat{\mathbf{a}}} = \frac{1}{2} \left( \frac{\partial \mathbf{e}^T}{\partial \hat{\mathbf{a}}} \mathbf{Q} \mathbf{e} + \mathbf{e}^T \frac{\partial (\mathbf{Q} \mathbf{e})}{\partial \hat{\mathbf{a}}} \right) = \frac{1}{2} (\mathbf{Q} \mathbf{e} + \mathbf{e}^T \mathbf{Q}^T) = \mathbf{Q} \mathbf{e} = (\mathbf{Q} \mathbf{e})^T.$$

Aquí hemos usado las

siguientes expresiones de derivación vectorial:  $\frac{\partial (\mathbf{c}^T \mathbf{x})}{\partial \mathbf{x}} = \mathbf{c}$  y  $\frac{\partial (\mathbf{A} \mathbf{x})}{\partial \mathbf{x}} = \mathbf{A}^T$ . Y la matriz de

sensibilidad es  $\mathbf{S} = -\frac{\partial \mathbf{e}}{\partial \hat{\mathbf{a}}} = -\frac{\partial (\mathbf{x} - \hat{\mathbf{x}})}{\partial \hat{\mathbf{a}}} = \frac{\partial \hat{\mathbf{x}}}{\partial \hat{\mathbf{a}}} = \begin{bmatrix} \frac{\partial \hat{x}_1}{\partial \hat{\zeta}} & \frac{\partial \hat{x}_1}{\partial \hat{k}} \\ \frac{\partial \hat{x}_2}{\partial \hat{\zeta}} & \frac{\partial \hat{x}_2}{\partial \hat{k}} \end{bmatrix}$ .

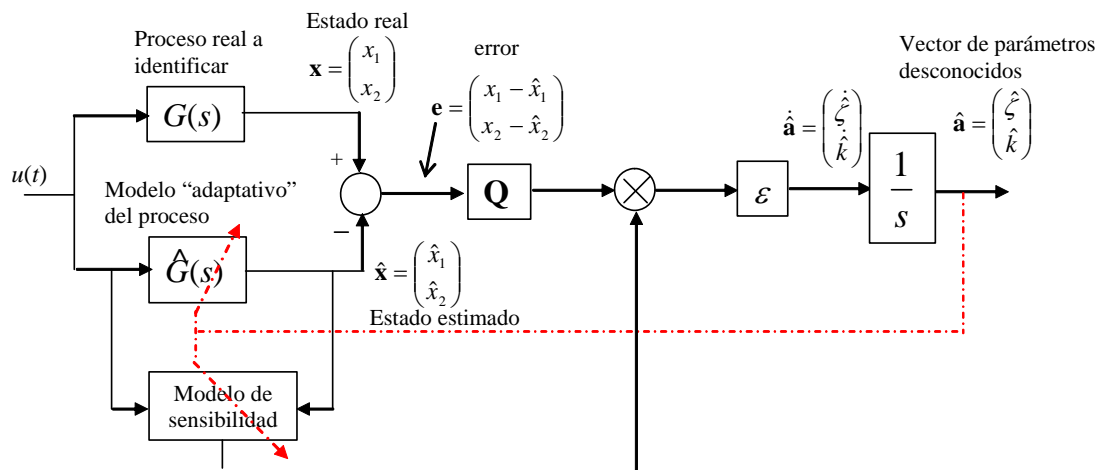


Fig. 1. Esquema de la regla del MIT

Se pide:

- 1) Proceso real: Construir un subsistema en SIMULINK que implemente el flujograma de señal del proceso real,  $\dot{\mathbf{x}} = \mathbf{f}(\mathbf{x}, u, \mathbf{a})$ . Tendrá que tener dos salidas:  $x_1$  y  $x_2$ . Para ello, hacer lo siguiente y verificar que funciona. Tomar como excitación un seno  $u(t)$  de amplitud unidad y frecuencia  $\omega = 1 \text{ rad/s}$ .

Notar que no se va a trabajar con bloques *Transfer Function* sino que se implementan directamente las ecuaciones de estado  $\dot{\mathbf{x}} = \mathbf{f}(\mathbf{x}, u, \mathbf{a})$  del sistema

$$\left. \begin{aligned} \dot{x}_1 &= x_2 \\ \dot{x}_2 &= -\omega_n^2 x_1 - 2\zeta\omega_n x_2 + ku \end{aligned} \right\}$$

mediante bloques *Integrator, Sum, Gain*.

2) Modelo adaptativo: Construir un subsistema en SIMULINK que implemente un modelo adaptativo con la misma estructura del proceso,  $\dot{\hat{\mathbf{x}}} = \mathbf{f}(\hat{\mathbf{x}}, u, \hat{\mathbf{a}})$ , pero que permita variar los valores de los parámetros  $\hat{\zeta}$  y  $\hat{k}$ . Tendrá que tener dos entradas adicionales  $\hat{\zeta}$  y  $\hat{k}$ . Verificar que funciona excitando con la misma  $u(t)$  del apartado anterior y con sendos escalones (*Step*) de valor  $\hat{\zeta} = 0.3$  y  $\hat{k} = 9$ , y comprobando que el resultado es el mismo que en el apartado anterior (sistema real).

Pista: Las ecuaciones de estado del modelo adaptativo son

$$\left. \begin{aligned} \dot{\hat{x}}_1 &= f_1(\hat{\mathbf{x}}, u, \hat{\mathbf{a}}) = \hat{x}_2 \\ \dot{\hat{x}}_2 &= f_2(\hat{\mathbf{x}}, u, \hat{\mathbf{a}}) = -\omega_n^2 \hat{x}_1 - 2\hat{\zeta}\omega_n \hat{x}_2 + \hat{k}u \end{aligned} \right\}$$

(Posteriormente lo que se hará será obtener la diferencia entre el estado del sistema real y el estado del modelo adaptativo,  $\mathbf{e} = \mathbf{x} - \hat{\mathbf{x}}$ )

3) Modelo de sensibilidad: La matriz de sensibilidad  $\mathbf{S} = \frac{\partial \hat{\mathbf{x}}}{\partial \hat{\mathbf{a}}}$  también varía con el tiempo.

Puesto que  $\dot{\hat{\mathbf{x}}} = \mathbf{f}(\hat{\mathbf{x}}, u, \hat{\mathbf{a}})$ , las ecuaciones dinámicas del modelo de sensibilidad son las siguientes:

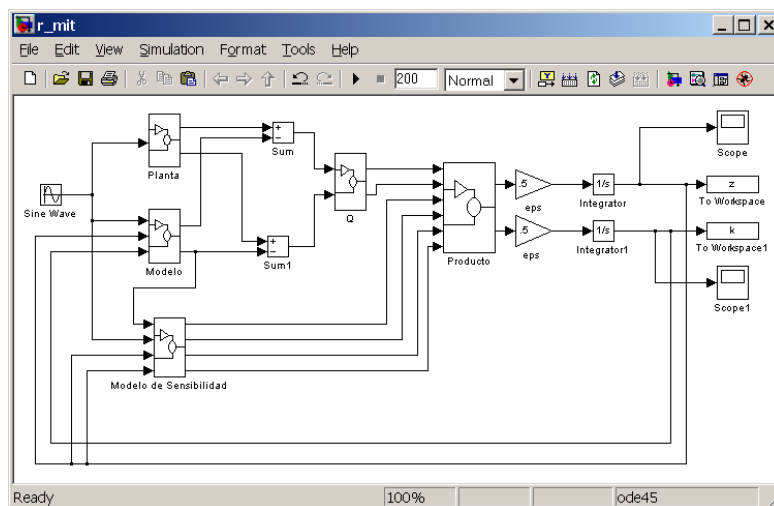
$$\frac{\partial \dot{\hat{\mathbf{x}}}}{\partial \hat{\mathbf{a}}} = \frac{\partial \mathbf{f}}{\partial \hat{\mathbf{x}}} \frac{\partial \hat{\mathbf{x}}}{\partial \hat{\mathbf{a}}} + \frac{\partial \mathbf{f}}{\partial \hat{\mathbf{a}}} \Rightarrow \dot{\mathbf{S}} = \frac{\partial \mathbf{f}}{\partial \hat{\mathbf{x}}} \mathbf{S} + \frac{\partial \mathbf{f}}{\partial \hat{\mathbf{a}}}$$

$$\begin{bmatrix} \frac{\partial \dot{\hat{x}}_1}{\partial \hat{\zeta}} & \frac{\partial \dot{\hat{x}}_1}{\partial \hat{k}} \\ \frac{\partial \dot{\hat{x}}_2}{\partial \hat{\zeta}} & \frac{\partial \dot{\hat{x}}_2}{\partial \hat{k}} \end{bmatrix} = \begin{bmatrix} \frac{\partial f_1}{\partial \hat{x}_1} & \frac{\partial f_1}{\partial \hat{x}_2} \\ \frac{\partial f_2}{\partial \hat{x}_1} & \frac{\partial f_2}{\partial \hat{x}_2} \end{bmatrix} \cdot \begin{bmatrix} \frac{\partial \hat{x}_1}{\partial \hat{\zeta}} & \frac{\partial \hat{x}_1}{\partial \hat{k}} \\ \frac{\partial \hat{x}_2}{\partial \hat{\zeta}} & \frac{\partial \hat{x}_2}{\partial \hat{k}} \end{bmatrix} + \begin{bmatrix} \frac{\partial f_1}{\partial \hat{\zeta}} & \frac{\partial f_1}{\partial \hat{k}} \\ \frac{\partial f_2}{\partial \hat{\zeta}} & \frac{\partial f_2}{\partial \hat{k}} \end{bmatrix}$$

$$\begin{bmatrix} \dot{S}_{11} & \dot{S}_{12} \\ \dot{S}_{21} & \dot{S}_{22} \end{bmatrix} = \begin{bmatrix} 0 & 1 \\ -\omega_n^2 & -2\hat{\zeta}\omega_n \end{bmatrix} \cdot \begin{bmatrix} S_{11} & S_{12} \\ S_{21} & S_{22} \end{bmatrix} + \begin{bmatrix} 0 & 0 \\ -2\omega_n \hat{x}_2 & u \end{bmatrix}$$

Se pide construir un subsistema que las implemente. Notar que al tener 4 variables de estado deberá contener 4 integradores. Las entradas al subsistema serán  $u$ ,  $\hat{x}_2$  y  $\hat{\zeta}$  y las salidas serán las 4 variables de estado  $S_{ij}$ .)

- 4) Realizar las conexiones necesarias entre todos los subsistemas y añadir visualizadores. Pista: La figura muestra una posible configuración. Se sugiere personalizar los subsistemas mediante máscaras. En este ejercicio, por simplicidad, tomaremos  $\mathbf{Q} = \mathbf{I}$ .



- 5) Representar la evolución temporal de  $\hat{\zeta}$  y  $\hat{k}$  (tomar tiempo final 150s y condiciones iniciales  $\hat{\zeta}=1$  y  $\hat{k}=5$ ). ¿A qué valores converge la estimación?
- 6) Representar la evolución temporal del vector de estado  $\mathbf{x}$  y su estimación  $\hat{\mathbf{x}}$ .
- 7) Estudiar el efecto de  $\varepsilon$  en la convergencia de la estimación de los parámetros  $k$  y  $\zeta$ . Simular con  $\varepsilon = 0.7$  y  $\varepsilon = 2$ .

**Ejercicio 9. Stateflow (opcional).** Proponer y resolver con Stateflow un ejemplo sencillo (por ejemplo, alguna aplicación de control secuencial, semáforo...)

**Ejercicio 10. Animación (opcional).** Implementar un efecto de animación sencillo usando una función S y las herramientas GUI (por ejemplo, movimiento de un péndulo, de un carrito con muelle y amortiguamiento,...) Ver ejemplo en los apuntes.